

# Wiatraki i zastosowanie ich do popędu elektrycznego.

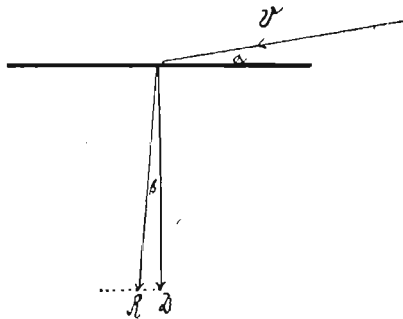
Napisał Stanisław Wysocki, inżynier.  
(Ciąg dalszy do str. 499 w № 42 r. b.)

### III.

Teoria wiatraków prof. la Cour'a (parcie na płaszczyźnie; praca; płytki wklęsłe; śmigła wiatraka; płaszczyzny oporu; ilość śmigła; budowa śmigła; opis wiatraka wzorowego; trudny rozpęd; śmigła ruchome; wiatraki wielośmigłowe, ich moc; regulacja; stery samoczynne).

Prof. LA COUR w sprawozdaniu ze swych badań, przeprowadzonych w stacyi doświadczalnej w Askor, podaje nową teorię wiatraków, opartą na wynikach własnych doświadczeń. Znana powszechnie teoria analityczna wiatraków, powtórzona

Parcie wiatru na płytkę.

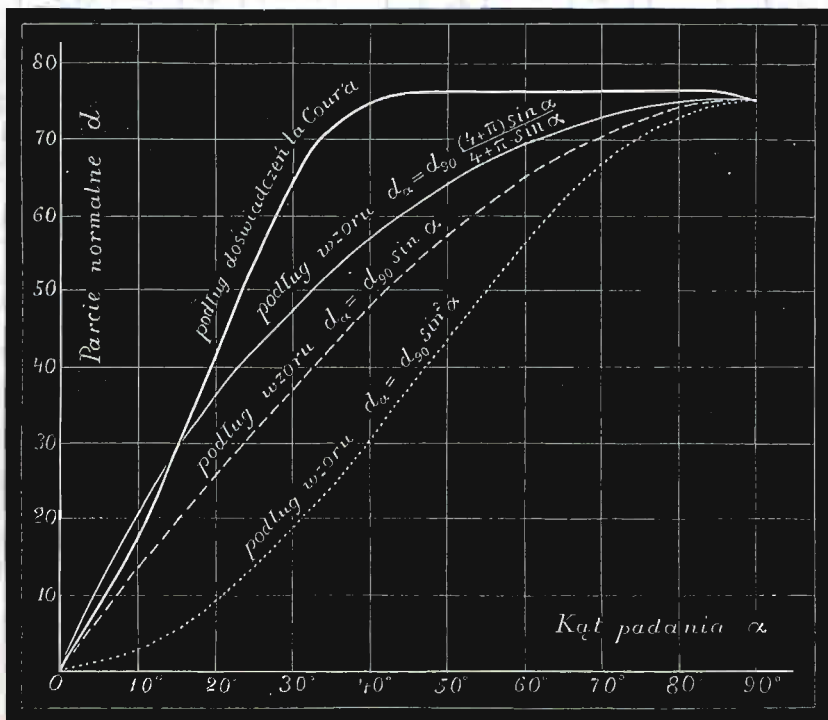


Rys. 2.

między innymi w podręczniku NEUMANN'A „Die Windkraftmaschinen“, w „Hütte“ (wyd. 18-te, t. I, str. 263) i w „Technik“ (t. I, str. 309), wychodzi z założenia, że parcie wiatru na śmigło udziela się tej ostatniej z siłą proporcjonalną do wstawy kąta pochylenia, a następnie przy pomocy prawa równoległoboku sił wyprowadza wzory trygonometryczne na najkorzystniejsze kąty pochylenia płaszczyzn śmigła i na moc wiatraków. Inaczej prof. LA COUR. Doświadczenia jego zbijają na samym wstępie podstawę dawnego rachunku i dlatego cała teoria musi być przeprowadzona drogą wykreślną. Podamy tu w streszczeniu główne przesłanki jego teorii.

Parcie jakie wiatr wywiera na płaszczyznę mierzone było specjalnym przyrządem przy sztucznym wietrze. Sprawdzono przedewszystkiem znane od dawna prawa, że siła ciśnie-

Parcie normalne w zależności od kąta padania.



Rys. 3.

nia  $R$  wzrasta proporcjonalnie do powierzchni  $F$  i do kwadratu prędkości wiatru  $v$

$$R = r \cdot F v^2 \quad (1).$$

Następnie zmieniano kierunek wiatru względem płaszczyzny i mierzono parcie normalne (t. j. prostopadłe do płaszczy-

zny) —  $D$ . Przy zmienianiu kąta padania  $\alpha$  (rys. 2) od  $0^\circ$  do  $90^\circ$ , parcie normalne wzrasta, osiąga maximum przy  $45^\circ$ , zatrzymuje tę samą wielkość do  $84^\circ$  i spada powoli. Okazuje się, iż wbrew wszelkim przewidywaniom ciśnienie nie jest najwyższe przy  $90^\circ$  i że nie jest proporcjonalne ani do drugiej potęgi wstawy (jak przypuszczał NEWTON), ani do pierwszej (podług LÖSSL'A). Więcej zbliżone do rzeczywistości wyniki, choć również niedokładne, daje wzór RAYLEIGH'A i GERLACH'A<sup>1)</sup>, jak to widać z zestawienia odpowiednich wykresów (rys. 3).

Parcie wypadkowe czyli najwyższe  $R$  nie wypadła w kierunku prostopadłym do płaszczyzny, lecz pochyłym względem normalnej o kąt  $\beta$ . Zależność pomiędzy  $D$  i  $R$  wyraża równanie (rys. 2)

$$D = R \cos \beta \quad (2).$$

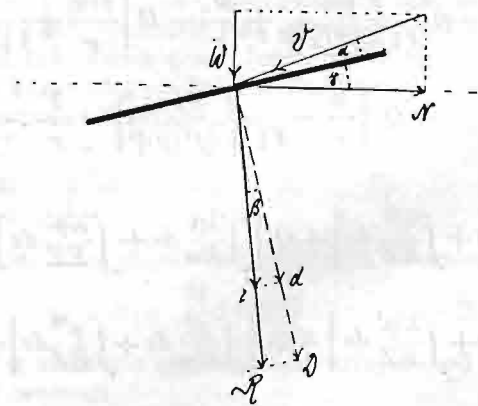
Kąt  $\beta$  mierzono specjalnym przyrządem przy rozmaitych kątach padania  $\alpha$ . Gdy  $\alpha$  wzrasta od  $1^\circ$  do  $90^\circ$ ,  $\beta$  szybko spada z  $34^\circ$  do  $0^\circ$  (tab. V).

Tablica V.

Kąt padania $\alpha$	Parcie normalne $d$ na $1 \text{ mm}^2$ przy prędkości wiatru $1 \text{ m/sek.}$ , w $g$	Kąt $\beta$
$1^\circ$	1	$34^\circ$
$2^\circ$	2,4	$22^\circ$
$3^\circ$	4,0	$14^\circ$
$5^\circ$	7,8	$9^\circ$
$7^\circ$	11,6	$6^\circ 30'$
$10^\circ$	18,0	$4^\circ 40'$
$15^\circ$	28,6	$3^\circ 20'$
$20^\circ$	41,4	$2^\circ 30'$
$25^\circ$	53,8	$1^\circ 50'$
$30^\circ$	65,2	$1^\circ 20'$
$40^\circ$	75,0	$1^\circ$
$50^\circ$	76,6	$0^\circ 40'$
$60^\circ$	76,6	$0^\circ 30'$
$70^\circ$	76,6	—
$80^\circ$	76,6	—
$85^\circ$	75,4	—
$88^\circ$	75,0	—
$90^\circ$	75,0	$0^\circ$

Zbadawszy drogą doświadczalną parcie  $d$  i kąt  $\beta$ , możemy przystąpić do obliczenia pracy. Oznaczmy przez  $R$  — parcie wypadkowe na powierzchnię  $F$  przy prędkości wiatru  $W$  w  $g$ .

Płytki w ruchu.



Rys. 4.

$r$  — parcie wypadkowe na powierzchnię  $1 \text{ m}^2$  przy prędkości wiatru  $1 \text{ m/sek.}$ , w  $g$ .

$D$  — parcie normalne na powierzchnię  $F$  przy prędkości wiatru  $W$  w  $g$ .

<sup>1)</sup>  $D_\alpha = D_{90^\circ} \frac{(4 + \pi) \sin \alpha}{4 + \pi \sin \alpha}$  (por. „Hütte“ wyd. 18-te, t. I, str. 262

i „Technik“ t. I, str. 307).

$d$  — parcie normalne na powierzchnię  $1 m^2$  przy prędkości wiatru  $1 m/sec$  w  $g$ .

$W$  — rzeczywista prędkość wiatru w  $m/sec$ .

$v$  — względna prędkość wiatru (przy przesuwaniu płytki) w  $m/sec$ .

$r$  — prędkość przesuwania płytki, względnie prędkość obwodowa części śmigi przy prędkości wiatru  $W$  w  $m/sec$ .

$n$  — prędkość przesuwania płytki lub części śmigi przy  $W=1$  w  $m/sec$ ., względnie stosunek prędkości  $N$  do  $W$ :

$$n = \frac{N}{W} \dots \dots \dots (3).$$

$F$  — powierzchnia płytki wzgl. śmigi w  $m^2$ .

$A$  — praca wykonana w ciągu 1 sek. przez płytkę wzgl. śmigę o powierzchni  $F$  przy prędkości wiatru  $W$  w  $gm/sec$ .

$a$  — praca jak wyżej lecz przy  $W = 1$  w  $gm/sec$ .

$\alpha$  — kąt padania pomiędzy kierunkiem  $v$  a płytką wzgl. śmigą.

$\beta$  — kąt pomiędzy kierunkiem parcia wypadkowego  $r$  a normalnego  $d$ .

$\gamma$  — kąt pochylenia płytki wzgl. śmigi do kierunku przesuwania płytki  $N$ .

Przy przesuwaniu płytki działa na nią wypadkowa siła wiatru o prędkości względnej  $v$

$$v = \sqrt{W^2 + N^2} \dots \dots \dots (4).$$

Praca

$$A = R \cos \sphericalangle (RN) \cdot N \dots \dots \dots (5).$$

przyczem, jak widać z rys. 4

$$\sphericalangle (R, N) = 90^\circ - \gamma + \beta \dots \dots \dots (6).$$

Z równań (1), (2), (3), (4), (5) i (6) otrzymujemy wzór ostateczny

$$A = d(1 + n^2) n W^3 F \frac{\cos(90^\circ - \gamma + \beta)}{\cos \beta} \dots \dots \dots (7).$$

Podług tego wzoru obliczono dla płytek płaskich pracę  $a$  przy rozmaitych prędkościach  $n$  i rozmaitych kątach  $\gamma$  (tabl. VI).

Tablica VI.

Praca $a$	Kąt pochylenia $\gamma$								
	$2\frac{1}{2}^\circ$	$7\frac{1}{2}^\circ$	$10^\circ$	$12\frac{1}{2}^\circ$	$20^\circ$	$30^\circ$	$40^\circ$	$50^\circ$	$70^\circ$
0,2	0,6	2,0	2,8	3,4	5,3	7,8	9,7	9,7	2,8
0,6	2,1	7,4	10,1	12,6	19,7	24,6	19,3	9,1	—
1,0	4,2	16,4	21,8	26,7	33,6	25,7	8,1	—	—
1,4	6,3	25,7	32,4	36,7	35,9	13,3	—	—	—
1,8	5,7	31,5	38,2	40,8	31,4	—	—	—	—
2,2	3,6	34,1	40,4	41,8	15,6	—	—	—	—
2,6	—	34,4	40,0	39,0	—	—	—	—	—
3,0	—	32,7	34,8	23,5	—	—	—	—	—
3,4	—	26,7	17,9	5,3	—	—	—	—	—
3,8	—	15,1	3,8	—	—	—	—	—	—

Najwyższa zatem praca  $a$  wynosi  $41,8 gm/sec$ .

Dla porównania przeprowadzono te same doświadczenia z płytkami wklęsłymi. Okazało się, że kierunek parcia wypadkowego  $r$  przy płytkach wklęsłych po większej części wypada z przeciwnej strony normalnej  $d$ , innymi słowy, kąt  $\beta$  jest ujemny, a kąt  $\sphericalangle (R, N)$  znacznie mniejszy niż przy płaszczyźnie. Ze wzoru (5) widać, że zmniejszenie kąta  $\sphericalangle (R, N)$  wpływa na powiększenie pracy. LA COUR przeprowadził badania nad rozmaitymi płytkami i znalazł, że pod każdym względem najodpowiedniejsza z nich jest płytka zgięta na  $\frac{1}{4}$  swej długości, gdy strzałka wynosi  $4\frac{1}{2}\%$  cięciwy (rys. 5), czyli

Płytki wklęsła.



Rys. 5.

$\overline{AB} = \frac{1}{4}(\overline{AB} + \overline{BC})$        $\overline{BD} = 0,045 \overline{AC}$ .

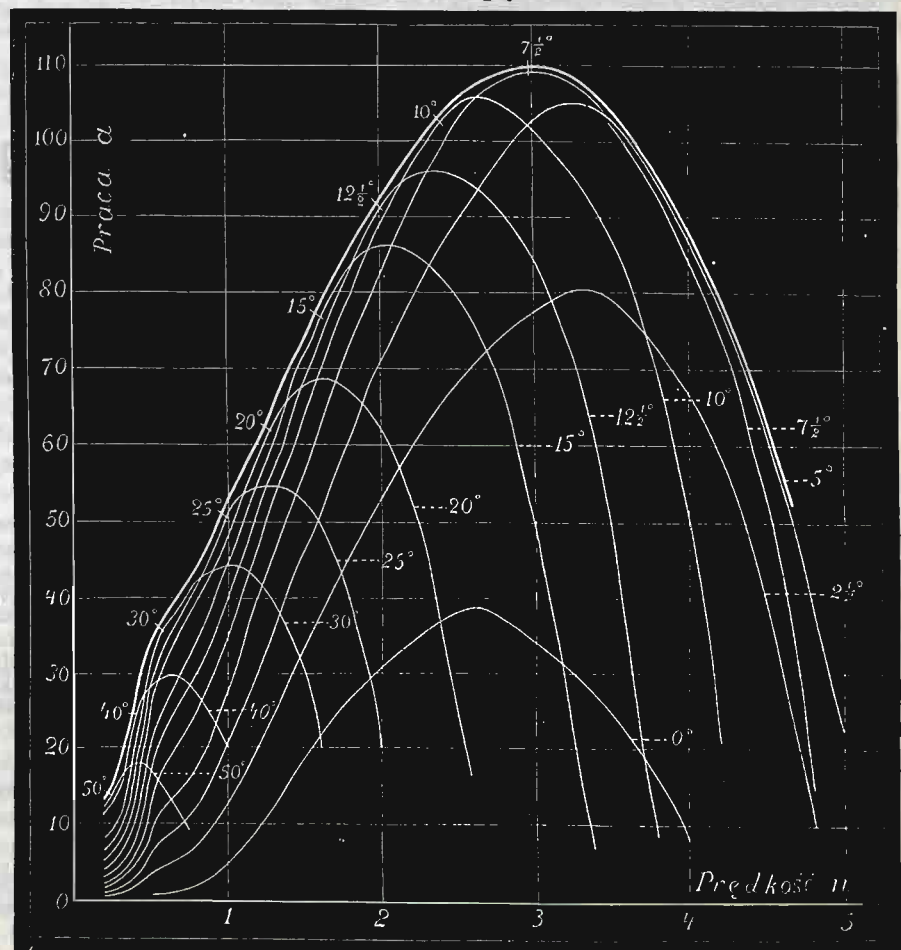
Oto wyniki doświadczeń nad temi płytkami (tabl. VII).

Tablica VII.

Kąt padania $\alpha$	Parcie normalne $d$ na $1 mm^2$ przy prędkości wiatru $1 m/sec$ ., w $g$	Kąt $\beta$
$1^\circ$	8,6	$-15^\circ$
$3^\circ$	13,4	$-10^\circ$
$5^\circ$	18,7	$-6^\circ$
$10^\circ$	31,3	$-1^\circ 50'$
$15^\circ$	43,8	$0^\circ 25'$
$20^\circ$	54,7	$1^\circ 40'$
$25^\circ$	64,1	$2^\circ 30'$
$30^\circ$	73,4	$2^\circ 45'$
$40^\circ$	84,4	$2^\circ 15'$
$50^\circ$	79,7	$1^\circ 30'$
$60^\circ$	73,5	$1^\circ$
$70^\circ$	73,5	$0^\circ 31'$
$80^\circ$	73,5	$0^\circ 11'$
$90^\circ$	73,5	$0^\circ$

Parcie normalne przy zmianie kąta padania (t. j. kąta pomiędzy kierunkiem wiatru a cięciwą płytki) od  $0^\circ$  do  $90^\circ$  wzrasta,

Praca a płytek.



Rys. 6.

osiąga maximum przy  $40^\circ$ , spada, a od  $60^\circ$  do  $90^\circ$  utrzymuje się na jednej wysokości. Kąt  $\beta$  zaś spada z  $-15^\circ$ , przechodzi przez  $0^\circ$ , osiąga  $+2^\circ 45'$  i znów wraca do  $0^\circ$ .

Podług tych danych i podług wzoru (7) wyliczono pracę  $a$ , jaką wykonywa płytka zgięta przy rozmaitych kątach pochylenia  $\gamma$  i rozmaitych prędkościach  $n$ . Wyniki obliczeń zestawione są w tabl. VIII i na rys. 6 zapomocą wykresów.

Tablica VIII.

Praca $a$	Kąt pochylenia $\gamma$								
	$2\frac{1}{2}^\circ$	$7\frac{1}{2}^\circ$	$10^\circ$	$12\frac{1}{2}^\circ$	$20^\circ$	$30^\circ$	$40^\circ$	$50^\circ$	$70^\circ$
0,2	0,7	2,1	2,7	3,4	5,4	8,6	11,4	11,5	5
0,5	3,9	9,9	13,2	16,6	26,1	31,6	28,4	17,4	—
1,0	13,1	28,8	35,1	39,7	49,1	44,3	21,1	—	—
1,4	29,4	51,3	58,6	63,8	65,5	34,7	—	—	—
1,8	45,7	72,7	79,9	82,6	66,6	—	—	—	—
2,2	59,8	90,6	97,1	95,0	50,7	—	—	—	—
2,6	69,2	104,9	105,3	93,2	15,9	—	—	—	—
3,0	77,5	108,3	102,0	83,8	—	—	—	—	—
3,4	80,3	104,6	91,1	56,3	—	—	—	—	—
3,8	73,0	92,9	67,4	7,5	—	—	—	—	—
4,2	57,9	73,7	19,9	—	—	—	—	—	—
4,6	27,3	37,0	—	—	—	—	—	—	—



Widzimy, że najwyższa praca  $a$ , jaką może wykonać płytka zgięta, wynosi 108,3 gm/sek., czyli 2,6 razy więcej niż płytka zupełnie płaska. Nadmieniamy, że bezpośrednio pomiary pracy przy pomocy hamulca potwierdziły w zupełności wyniki obliczeń. Małe zgięcie płytki przyczyniło się wskuszenia wydajności. Jeżeli pracę tę porównamy z energią, jaką wogóle rozporządza 1 m<sup>3</sup> powietrza, poruszającego się z prędkością 1 m/sek., t. j. z 64 gm, to może nas w pierwszej chwili zadziwić, iż wykonana praca przewyższa tę ostatnią (o 68%). Pochodzi to stąd, że płytka czerpie energię nie tylko ze strumienia wiatru uderzającego o nią, lecz i z powietrza przechodzącego w pobliżu, które pędem swym rozrzedza powietrze z tylnej strony płytki i odgrywa poniekąd rolę rury ssawczej.

Gdy przejdziemy teraz od płytki do śmigła wiatraka, będziemy musieli przede wszystkim uwzględnić, że każda część śmigła porusza się z inną prędkością obwodową  $n$  i musi mieć inne kąty pochylenia  $\gamma$ , by wykonać najwyższą pracę. Zwróćmy się do naszych wykresów (rys. 6) i nakreślmy styczną do wszystkich krzywych, obejmującą ją z zewnątrz („envelope“). Linia ta wskaże właśnie najwyższą pracę, jaką dać może śmi-

ga w każdym swym punkcie przy odpowiedniej prędkości obrotowej i przy właściwym kącie pochylenia. Widzimy, iż w miarę oddalania od osi wydajność wzrasta, osiąga maksimum przy  $n = 3$  i prędko spada; kąty zaś pochylenia wypadają największe przy osi, najmniejsze — na końcach śmigła.

Musimy jeszcze uwzględnić dwa czynniki zmniejszające pracę obliczoną teoretycznie. Chodzi nam przede wszystkim o płaszczyznę oporu, t. j. listwy, kątowniki, skrzelice (żaluzje), pałazki regulacyjne i t. p., które hamują pęd wiatru. Straty stąd wynikające nie są niczem innym, jak pracą ujemną przeniesioną przez wiatr na płaszczyznę oporu. Dadzą się one łatwo obliczyć przy pomocy tablicy VI. Jeżeli wielkość tych płaszczyzn wyrazimy procentowo w stosunku do powierzchni śmigła, to na każdy 1% powierzchni oporu <sup>1)</sup> będziemy mieli straty wynoszące

przy $n = 0,4$	1,2	2,0	2,4	2,8	3,2	4,0
	0,2%	3,6%	7,17%	12,4%	19%	27,7%
						52%

odpowiedniej pracy śmigła. A zatem straty te są tem większe, im prędzej obraca się wiatrak. (C. d. n.)

<sup>1)</sup> Należy to rozumieć w ten sposób, że powierzchnia przednich ścianek (gdzie powietrze zgęszcza się) wynosi 1% i powierzchnia tylnych ścianek (gdzie powietrze rozrzedza się) — 1%.

## Zasady badań wydajności silników gazowych i gazowników,

opracowane przez Towarzystwo inżynierów niemieckich, Stowarzyszenie niemieckich zakładów budowy maszyny i Związek fabryk wielkich silników gazowych, w r. 1906.

(Ciąg dalszy do str. 503 w № 42 r. b.).

### Badanie mocy silnika spalinowego.

33. Rodzaj, ilość i czas trwania prób należy oznaczyć według „Przepisów ogólnych“ (№ 1—8).

34. Dane dotyczące ustroju i warunków działania silnika należy w sprawozdaniu z prób podać z taką dokładnością, jaka jest niezbędna do oceny sposobu działania i jego wyników, w szczególności: typ silnika i jego moc, średnice cylindrów i trzonów tłokowych, skok tłoka, objętość przestrzeni sprężenia oraz inne tu odnoszące się wymiary; liczbę normalną obrotów i dopuszczalne w niej wahania; rodzaj i wartość ciepła paliwa, do którego silnik jest przeznaczony. Średnicę cylindra i skok tłoka należy, gdy to jest możliwe, zmierzyć.

*Uwaga.* Objętość przestrzeni sprężenia, o ile to jest możebnem, należy oznaczyć przez napełnienie wodą. Gdy nie można podać objętości przestrzeni sprężenia, należy podać przynajmniej prężność przy pełnem obciążeniu. Oznacza się ją przez zdjęcie wykresu po wylączeniu zapalacza.

35. Przed próbą zbadać należy wewnątrz i zewnątrz prawidłowość stanu silnika.

36. Liczbę obrotów silnika należy oznaczyć zapomocą licznika obrotów, którego stan znaczy się w odpowiednich odstępach czasu i co pewien czas sprawdza przez bezpośrednie liczenie obrotów.

Jeżeli mają być badane prędkości silnika, to należy oznaczyć:

- 1) liczby obrotów w stanie ustalenia przy największem obciążeniu i przy biegu luźnym;
- 2) wahania liczby obrotów przy niezmiennym obciążeniu;
- 3) o ile spada lub podnosi się liczba obrotów przy przechodzeniu od stanu ustalenia do przepisane go zwiększonego lub zmniejszonego obciążenia.

*Uwaga.* Te poszukiwania mogą być wykonywane zapomocą przyrządów w rodzaju tachografu Horn'a. Wahania liczby obrotów podczas całkowitego okresu ruchu (czterotakt, dwutakt i t. d.) powyżej i poniżej jej wartości średniej (stopień niejednostajności koła rotacyjnego  $= \frac{n_{\max} - n_{\min}}{n_{\max} + n_{\min}}$ ) oznaczają się w częściach rzeczony wartości

średniej, do czasu wydania innych postanowień, rachunkowo.

37. Moc użytkową można oznaczyć zapomocą hamowania mechanicznego lub na drodze elektrycznej.

Dane dotyczące wymiarów i ciężaru hamulca należy, o ile to możebne, oznaczyć przed próbą.

Pomiar elektryczny może być wykonany zapomocą prądnicy sprężonej bezpośrednio z silnikiem gazowym. Pracę użytkową oblicza się z mocy wydatkowanej przez prądnicę. Sprawność prądnicy należy oznaczyć według jednej z metod, podanych w „Przepisach

normalnych oceny i próbowania maszyn elektrycznych i przetworników“, wydanych przez Związek niemieckich elektrotechników. Jeżeli do rachunku wprowadzono straty otrzymane z pomiaru, to w miejsce strat nieuwzględnionych przyjąć należy ryczałtowo 2% pracy pełnego obciążenia, jako pracę dodatkowo przez silnik wydatkowaną.

Przyrządy służące do pomiarów elektrycznych winny przed próbą i, o ile to jest możliwem, także po próbie być wzorcowane.

*Uwaga.* Czy oprócz rzeczony ilości ryczałtowej ma być coś więcej jeszcze na dobro silnika zaliczone z powodu wzmoczonego tarcia w łożyskach i oporu powietrza w prądnicy, to należy każdorazowo rozstrzygać. Z powodu braku dostatecznie pewnych wyników prób, nie można jeszcze obecnie orzec czy przyjęty dla silników parowych sposób oznaczania mocy użytkowej jako różnicy pomiędzy pracą wskazaną a pracą biegu luźnego, może być stosowany do silników gazowych w wypadkach, gdy pracy użytkowej nie można oznaczyć ani zapomocą hamowania ani też w drodze elektrycznej.

38. Indykatory należy zakładać bezpośrednio przy spalniku, bez długich i ostro zakrzywionych przewodów pośrednich, a mianowicie przy każdym spalniku jeden indykator. W tym celu każde spalisko należy zaopatrzyć w otwór przewiercony  $\frac{3}{4}$ " lub 1" Whitworth'a. To samo odnosi się odpowiednio do cylindrów pompy.

Indykatory i ich sprężyny należy przed próbą i po próbie sprawdzać według norm Towarzystwa inżynierów niemieckich.

39. Podczas próby należy możliwie często zdejmować wykresy przy każdym spalniku i przy cylindrach pompy. Wykresy oznacza się liczbami porządkowymi i danemi co do czasu zdjęcia, skali sprężyny i liczby oddzielnych wykresów. Należy każdorazowo zdjąć przynajmniej 5 kolejnych wykresów na jednej karcie. Od czasu do czasu należy zdejmować także wykresy słabą sprężyną przy spaliskach.

Pracę wskazaną biegu luźnego należy zmierzyć bezpośrednio po ukończeniu próby głównej, póki silnik jest jeszcze rozgrzany. Należy przytem baczyć szczególnie na to, ażeby wykresy biegu luźnego nie były zdejmowane podczas okresu przyspieszenia czy zwolnienia obrotu koła rozpędowego.

### Badanie gazu wytworzonego w gazowni lub zużytego przez silnik spalinowy albo też zużytego paliwa ciekłego.

40. Próbkę do rozbioru chemicznego gazu bierze się podczas próby możliwie często, w równych odstępach czasu, i albo poddaje się je na miejscu rozbiorowi, albo też przechowuje się je w zatopionych rurkach szklanych do czasu wykonania rozbioru. Rozbiór winien wskazać zawartość w procentach objętości tlenku węgla (CO), bezwodnika węglowego (CO<sub>2</sub>), wodoru (H<sub>2</sub>), metanu (CH<sub>4</sub>), ciężkich węglowodorów oraz tlenu (O<sub>2</sub>); nadto zaleca się oznaczanie zawartości siarki (w g/m<sup>3</sup>). Próbkę gazu należy brać z przewodu między urządzeniem do oczyszczania a silnikiem.